

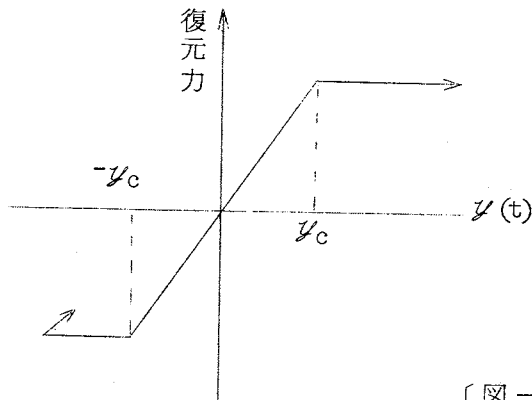
# Bi-Linear 系のランダム振動の確率統計的考察

名古屋大学 中川建治

§ 1 ランダム振動の理論を、 Bi-Linear 振動系の振動に適用して、応答の分布状態を検討した。振動系は、図-1に示すような弾塑性復元特性をもつものとする。したがつて、振動方程式は、弹性域、および、塑性域に対して、式(1)によつて表わされる。

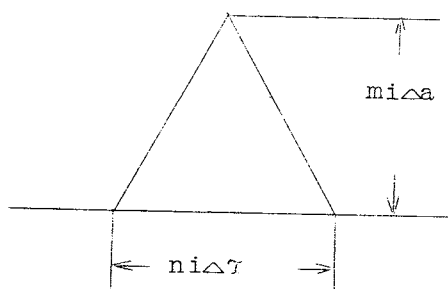
$$\ddot{y} + 2\zeta_1 \omega_0 \dot{y} + \omega_0^2 y = f(t) \quad \dots \dots \quad 1 \leq y(t) \leq y_c$$

$$\ddot{y} + 2\zeta_2 \omega_0 \dot{y} + \omega_0^2 y = f(t) \quad \dots \dots \quad y(t) > y_c \quad \dots \dots \quad (1)$$



[図-1]

式(1)における  $f(t)$  をランダム関数として、次のようにして決定した。電子計算機を用いて疑似乱数、すなわち、それぞれ、独立で、パラメーターを 10 とするポワソン分布に従う乱数、  $m_i, n_i$ 、を求めて、図-2のようにして、ランダム関数  $f(t)$  の第  $i$  番目のパルスを決定する。なお、第  $i$  番目のパルスの正負は、上記の乱数と異なつた乱数によつて決定する。このようにして得た一連のランダム関数  $f(t)$  を入力とした場合の応答  $y(t)$  を、次のような 2 つの方法によつて計算した。



[図-2]

§ 2 弹性限界  $\gamma_c$  を 1 として、ランダム関数のパルスの数を 100 個、あるいは、400 個として、 $\omega_0$ ,  $\Delta\alpha$ ,  $\Delta\tau$  の値を適当に変化させて、応答  $\gamma(t)$  を数値積分法によつて求めた。それぞれの場合において、 $\gamma(t)$  の値の統計をとり、分散を求めたが、 $\Delta\alpha$  が小さい場合は、弹性振動となつて、図-3 に示したように、ガウス分布に従うことが判明した。図-3 は、確率紙であるから、直線の勾配より分散が求められる。これは、S. O. Rice の理論で予想されている結果である。図示したのは 1 例にすぎないが、 $\Delta\alpha$  を大きくすると、塑性ひずみの発生する回数が増加して、 $\gamma(t)$  は、もはや弹性域においてもガウスの分布から離れて、く形分布に近づくことが分つた。

§ 3 パワースペクトル解析法によれば、線形振動の限りでは、入力  $f(t)$  に対する応答  $\gamma(t)$ 、および、 $\gamma(t)$  の分布における分散が求められる。 $f(t)$  のパワースペクトル  $S_f(\omega)$  は、式(2)によつて与えられるが、§ 2 で採用した  $f(t)$  のパワースペクトルを、図-4 に示す。

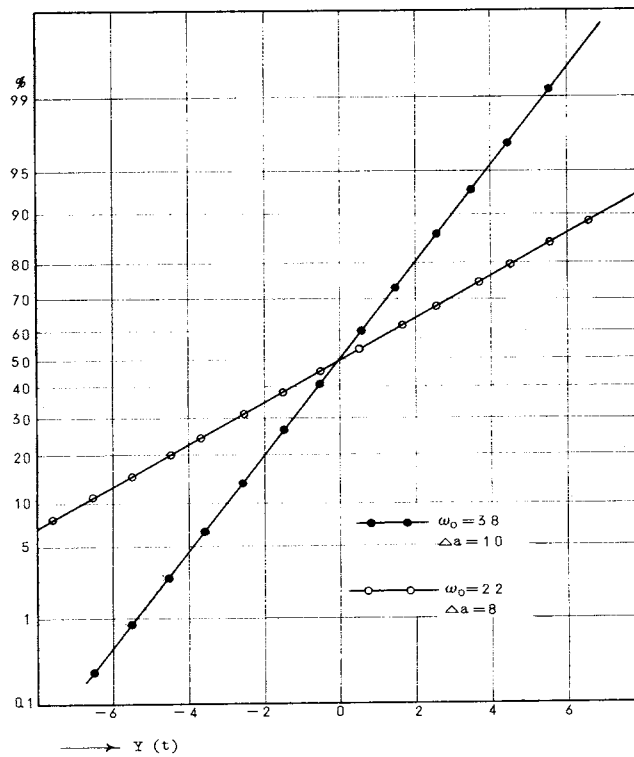


図-3

$$S_f(\omega) = \lim_{T \rightarrow \infty} \sqrt{2\pi} \cdot \frac{|F_T(\omega)|^2}{2T} \quad \dots \dots \dots \quad (2)$$

$$F_T(\omega) = \sqrt{\frac{1}{2\pi}} \int_{-\infty}^{\infty} f(t) e^{-i\omega t} dt$$

式(1)における弾性域における周波数応答関数  $H(\omega)$  を用いれば、次のようにして、 $\dot{\gamma}(t)$ 、および、 $\dot{\gamma}'(t)$  のパワースペクトル、 $P_y(\omega)$ 、 $P_v(\omega)$  を得る。

$$P_y(\omega) = |H(\omega)|^2 S_f(\omega)$$

$$P_v(\omega) = \omega^2 |H(\omega)|^2 S_f(\omega) \quad \dots \dots \dots \quad (3)$$

$$|H(\omega)|^2 = \frac{\omega^2}{(1 - \frac{\omega^2}{\omega_0^2})^2 + 4\zeta^2 \frac{\omega^2}{\omega_0^2}}$$

分散とパワースペクトルとの関係は、式(4)で表わされるので、 $\dot{\gamma}(t)$  および  $\dot{\gamma}'(t)$  の分散は、それぞれ、求められる。

$$\sigma^2 = \int_{-\infty}^{\infty} P(\omega) d\omega \quad \dots \dots \dots \quad (4)$$

§ 4 ランダム振動を、数値積分法と、パワースペクトル法とによって解析し、標準偏差の値をもつて比較すれば、表-1のようになる。 $\Delta\alpha$  が小さく塑性ひずみの発生しない場合には、このように、比較的良好な結果を得た。

[表 - 1]

$\omega_0$	$\Delta\alpha$	$\dot{\gamma}(t)$ の標準偏差 $\sigma_{\dot{\gamma}}$	
		数値積分法	パワースペクトル法
2.2	8	0.532	0.538
3.8	10	0.221	0.204

§ 5  $\Delta\alpha$ 、および、 $\omega_0$  の値をそれぞれ変化させて、塑性ひずみを発生させた結果を表-2に示すと。式(1)における  $\zeta_1, \zeta_2$  は  $\zeta_1 = 0.01, \zeta_2 = 0.5$  とし、 $f(t)$  のパルス 100 個あたりの結果に換算してある。すなわち、

表 - 2

$\omega$	$\triangle \alpha$	N	$\varepsilon$
10	4	6.0	0.173
	6	10.5	0.311
	10	16.0	0.726
15	4	1.5	0.065
	5	4.3	0.081
	6	8.0	0.101
22	4	0	0.
	6	0.7	0.050
	8	7.7	0.088
	10	13.0	0.127
38	10	0.5	0.030
	20	4.5	0.077
	30	26.0	0.127

表 - 2 における N は、パルス 100 個あたりの塑性域に入る回数、 $\varepsilon$  は、塑性域へ入つた場合における、塑性ひずみの絶対値平均を表わす。

